

名城大学 地工学部 正会員 ○ 伊藤 政博
 京都大学防災研究所 正会員 工屋 義人
 " " " 山下 隆男

1 緒言。 海浜形状に関する問題を解決する一手法として、従来より、水理模型実験で現象を再現させた方法が行なわれてきました。この模型実験による方法には、一般的にその現象に縮尺効果が介入して、実際の現象と異なる結果を与える場合があるのです、的確な実験方法の解明、特に相似則の阐明が要求されてきました。このために、従来、(1)底質の比重を表す方法、(2)底質粒径の沈降速度による相似則に基づいて粒径を決定する方法、(3)海浜形状を支配する無次元水理量の相似則を幾つか組み合せた条件による方法: E. K. Nada (1972), Paul. Kamphuis & Brebner (1972), Dalrymple & Thompson (1976), (4)底質粒径の比重および粒度分布を表す方法: Collins & Chesnutt (1976) などの研究が行なわれてきました。しかしながら、これらの方法による研究は、いまだ十分な海浜形状の相似則を示すまでに至っていませんといつてよいであろう。

そこで、筆者らは、波と砂移動による二次元的海浜形状の相似則を検討するために、まず波に対するFrondt の相似則が成立するものとして、実物と模型の波の特性、初期海浜勾配および水深を定め、この条件のもとで両者の底質粒径を求めて、海浜形状の特性とくに海浜前面形が相似となる底質粒径を見い出すことにした。そして、そこにある相似則を実験的に明らかにしてみるところがこの研究の目的である。

2. 実験方法 一般に、海浜形状に関する実験では、実物と模型実験で起こる現象を相似にさせるために、波に対する現象 (shoaling, 破滅, 波の run up, 海浜斜面からの波の反射など) と、砂移動に関する現象 (移動限界水深, 沖まわり等方向への移動など) を力学的に一致させる必要がある。しかしながら、これらすべての現象を力学的に一致させることは、水理模型実験の性格上不可能であるために、これまでに行なわれてきた海浜形状の相似則に関する研究では、これらの中の特徴の現象のみ、あるいは2～3の重要な現象を支配している水理量について相似則を求め、その相似則による模型実験が行なわれてきました。

この研究方法による実験では、波に対する縮尺はFrondt 則により決定される値を用い、海浜の底質材料として粒径の異なる3種類の砂 (比重: 2.54～2.57; 淡水用沙造砂) を使用して、初期海浜勾配 $l_0 = 1/30$ の海浜を造り、 $H_0/L_0 = 0.015$ の波を作用させることとした。ただし、実験における縮尺の能率、横の差に入れないものとして、実験は、長さ 70m, 幅 1m, 高さ 1.5m のコンクリート製長水槽 (実験水槽: I とする) を実物の海浜形状の実験に、一方、長さ 25m, 幅 0.5m, 高さ 0.65m の鋼鉄製水槽 (実験水槽: II) を模型の海浜形状の実験に使用して。これらの実験水槽で行なった相似則に関する実験結果は縮尺の順に整理して表-1 に示した。また、表-1 の No.1 の実験は実験水槽: I, No.2 ～10 は実験水槽: II を使用して行なった。表-1 で、沖波勾配 $H_0/L_0 = 0.014 \sim 0.018$ の値になると、波の作用時間 Frondt 則に基づいて、予定の沖波高を $l_0 = 1/30$ の傾斜海浜に作用させながら、海浜の変形に伴

て実験中波高が変動するため、その平均値をとて表めしたのである。Tf: 波の作用時間, T: 波の作用時間, Tf は、表-1 で No. 2 ～10 に達する値になっているが、これは実物の実験 (No. 1) では波の作用時間 60 分間、そこで、模型 (No. 2 ～10) では 24 時間前後で平衡海浜形状がえられたのである。

表-1. 相似則の実験諸元と海浜表面の特性

| No. | Scale for No. I | Reach sand diameter (50 mm) | Initial beach slope l_0 | Water depth h cm | Wave height L cm | Period T sec | D.W. wave length L _w m | D.W. wave steepness H _w /L _w | Wave open time t hs | H _w /d ₅₀ | Water temp. ℃ | d ₅₀ /gH _w μ | X ₁ /l _w |
|-----|-----------------|-----------------------------|---------------------------|------------------|------------------|--------------|-----------------------------------|--|---------------------|---------------------------------|---------------|------------------------------------|--------------------------------|
| 1 | 1/1 | 0.94 | | 100 | 20.6 | 3.0 | 14.04 | 0.015 | 60 | 219 | 7.9 | 962 | 0.43 |
| 2 | 1/2 | 0.94 | | 50 | 10.3 | 2.12 | 7.02 | 0.015 | 24 | 110 | 10.0 | 725 | 0.38 |
| 3 | 1/2.2 | 0.64 | | 45 | 10.1 | 2.01 | 6.32 | 0.016 | 23 | 24 | 14.5 | 549 | 0.25 |
| 4 | 1/2.2 | 0.38 | | 45 | 8.6 | 2.01 | 6.32 | 0.014 | 24.5 | 226 | 10.0 | 267 | 0.03 |
| 5 | 1/2.5 | 0.38 | | 39.6 | 8.1 | 1.81 | 5.57 | 0.015 | 25 | 213 | 13.0 | 281 | 0.04 |
| 6 | 1/3.8 | 0.38 | | 26.3 | 5.4 | 1.52 | 3.69 | 0.015 | 24 | 142 | 9.0 | 205 | 0.02 |
| 7 | 1/4 | 0.94 | | 25 | 5.7 | 1.50 | 3.51 | 0.016 | 24 | 61 | 11.0 | 552 | 0.21 |
| 8 | 1/5 | 0.38 | | 20 | 4.5 | 1.34 | 2.80 | 0.016 | 24 | 119 | 7.0 | 193 | 0.02 |
| 9 | 1/6 | 0.64 | | 16.7 | 3.9 | 1.22 | 2.30 | 0.017 | 24.5 | 61 | 15.5 | 351 | 0.07 |
| 10 | 1/7 | 0.38 | | 14.3 | 3.5 | 1.13 | 2.00 | 0.018 | 18 | 92 | 14.0 | 190 | 0.06 |

たが、初期海浜形状および平衡海浜断面形状は実験に槽上の測定用台車から、砂面測定器により測定を行つた。

3. 実験結果と海浜変形の相似性 図-1は表-1の実験諸者で行なわれた実験結果から得られる初期海浜断面形状と平衡海浜断面形状を逐次元形で表わし、実物と模型の海浜断面形状が両者とも全体的に一致する場合：相似、タガの相違はあるがほぼ一致しているとみなされる場合：擬相似、一致していない場合：非相似、として3段階に分けて整理したものである。図-1から、海浜変形が相似に近づく場合、実物と模型の碎波点の位置は非相似の場合にくらべて良く一致していることがわかる。表-2は表-1の実験結果についてそれぞれの海浜断面形状を図上で照合し、相似、擬相似、非相似とに分けて整理した結果である。また、海浜変形の相似性と波の shoaling、碎波、反射などの相似性との間にどのより对应が存在しているかについて調べるために、波の envelope の結果を図-2に整理した。この図から、海浜変形の相似性と波の相似性との間に平行して同じくして実験が見受けられるが、しかし、海浜変形が非相似である場合、平衡状態（海浜変形）における波の envelope は碎波点が近くで相似かとくらべて一致の度合が悪いよりである。図-3は表-2の結果と他の実験結果を若干加えて、縮尺に Froude 則による底質粒径と実験に用いた粒径との比 $(d_{50})_p / (d_{50})_m$ 、縮尺に模型の縮尺の逆数 $1/S = n$ ($S = 1/n$) をとってプロットしたものである。図-3から、海浜変形が相似に近づく場合、プロットされた点はほぼ直線上に並び、この直線の近傍では海浜変形が擬相似になり、さらに縮ると非相似に近づくことがよくわかる。図-3には、 $S=1/1$ ～ $1/2.5$ の範囲であるが、模型に使用する底質粒径の縮尺には、波に適用されて Froude 則より幾分歪めの値（実物より幾分大きい粒径）にとれば、海浜変形の相似性が成立するこを示している。さらに、海浜変形が相似に近づく場合、表-1 で、初期海浜形状からの汀線移動量 X_{S0}/L_0 は勾配のこと、 H_0/d_{50} と $d_{50}\sqrt{g}H_0/L$ の両方の値、あるいは $d_{50}\sqrt{g}H_0/L$ の半の値、がほぼ同程度の數値を示すことが注目される。

なお、この研究は筆者の1人；伊藤が京都大学防災研究所工屋教授の下に内地留学で滞在し折りに行なった研究の一部であることを付記する。

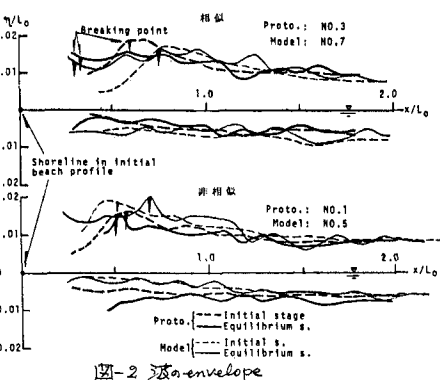


図-2 波のenvelope

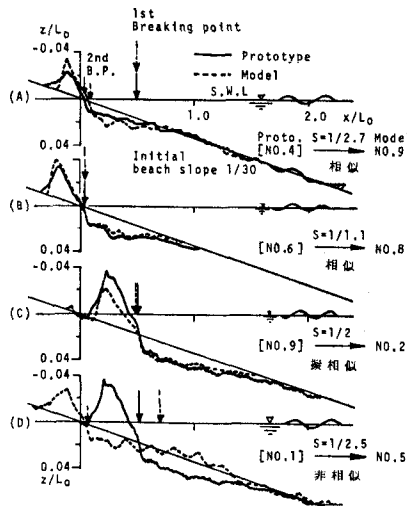


図-1. 実物と模型との海浜変形断面形状の組合せ。

表-2. 相似・擬相似・非相似と実験の組合せ。

| | $S=1/1.8$ [NO.3] → NO.7 | $S=1/2.4$ [NO.5] → NO.9 |
|-----|----------------------------|----------------------------|
| 相似 | $S=1/2.7$ [NO.4] → NO.9 | $S=1/1.3$ [NO.6] → NO.8 |
| | $S=1/1.1$ [NO.4] → NO.5 | |
| 擬相似 | $S=1/2$ [NO.9] → NO.2 | $S=1/1.6$ [NO.6] → NO.9 |
| | $S=1/1.2$ [NO.8] → NO.9 | |
| 非相似 | $S=1/2.5$ [NO.1] → NO.5 | その他、相似・擬相似がない組み合せによるケース |

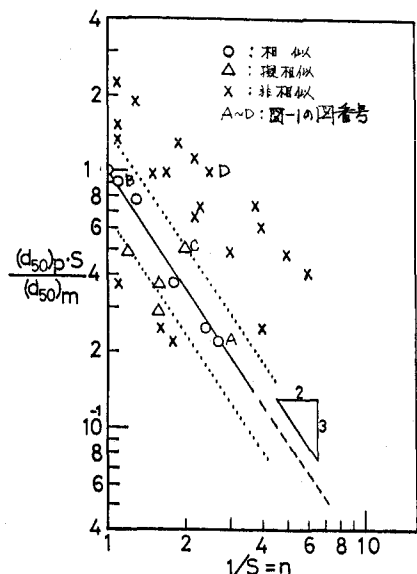


図-3. 海浜変形の相似性と底質粒径の縮尺